



## اكتشاف وتصنيف العيوب في الأقمشة المنسوجة بواسطة فلتر جابور والشبكة العصبية

إيمان صبحي محمد  
قسم علوم الحاسوب  
كلية علوم الحاسوب والرياضيات  
جامعة الموصل  
eami2017@yahoo.com

د. إسراء محمد خضر  
قسم علوم الحاسوب  
كلية التربية للعلوم الصرفة  
جامعة الموصل  
Israaa\_alhamdany@yahoo.com

### الملخص

نظراً لأهمية الصناعة ولأن جودة المنتجات تعكس رقي وتقدم ونهوض اقتصاد أي بلد لذلك تعد صناعة الغزل والنسيج إحدى أهم الصناعات التي تتطلب الجودة. باتت عملية فحص النسيج تشكل مطلباً هاماً لضمان الجودة ومطابقة المنتجات لمعايير القياسات النوعية، ومع تقدم أساليب الأتمتة كان من الضروري استخدام الرؤية الحاسوبية ومعالجة الصور لزيادة سرعة وكفاءة عملية الفحص. يهدف العمل المقترن إلى دمج طرائق معالجة الصور والتقنيات الذكائية كالشبكة العصبية فضلاً عن الطرائق الإحصائية إذ استخدمت طرائق تحليل متعددة المقاييس multi-scale ومتعددة الاتجاهات multi-orientation كتحليل جابور. أثبتت الفلتر كفاءته في تمييز وتحديد الحواف وإعطاء أفضل الصفات التي من خلالها يتم تمييز أنواع العيوب التي قد تحصل أثناء الغزل والنسيج. ومن ثم صياغة للكيفية التي يمكن من خلالها معالجة التراكيب النسيجية والمناطق المعيبة من القماش وتحديد أي نوع من أنواع العيوب الموجودة فيها. لرفع مستوى هذه العملية عند فحص الأقمشة المنسوجة والتعرف على العيوب بشكل off-line.

يتضمن العمل المقترن مرحلتين، المرحلة الأولى هي مرحلة اكتشاف العيوب في صور الأقمشة والمرحلة الثانية هي مرحلة تصنيف العيوب. في مرحلة اكتشاف العيوب يتم تحويل الصور إلى الحيز الترددية عن طريق التحويل الجيبي المتقطع (DCT) ومن ثم استخلاص صفات الصور وإدخالها إلى الشبكة العصبية شبكة الانتشار العكسي لتتم عملية اكتشاف وجود العيوب وعزل الصور السليمة عن المعيبة. أما في مرحلة التصنيف فيتم تحويل الصور إلى الحيز الترددية عن طريق تحويل جابور ومن



ثم استخلاص صفات الصور وإدخالها إلى الشبكة العصبية شبكة الانتشار العكسي لتصنيف عيوب النسيج الموجودة في تلك الصور.

للحاق من كفاءة التقنيات المستخدمة تم جمع صور حية كقاعدة بيانات لأقمشة من معمل الغزل والنسيج في الموصل فضلاً عن السوق المحلية. تم اختيار صور الأقمشة بعناية وهذه الأقمشة بأنواع وبنوان وأربعة عشر نوعاً مختلفاً من العيوب. تم استخدام نظام (Matlab 2013) وأوضح العمل المقترن نسبة تمييز (97.5%) مقارنة بنتائج أعمال أخرى مقاربة وفي نفس المجال.

**الكلمات المفتاحية:** عيب باتجاه اللحمة، عيب باتجاه السداء، الثقب، البقعة، الطرائق الإحصائية، الشبكات العصبية، جابور، المعدل، الميل، الوسيط.

## Detecting and Classifying Defects in Textile Fabrics with Gabor Filters and Neural Network



Iman Subhi Mohammed  
computer sciences department  
College of Computer Science and Mathematics  
Mosul University  
eami2017@yahoo.com

D.Israa mohammed khuder  
computer sciences department  
College of Education for Pure Sciences  
Mosul University  
Israa\_alhamdany@yahoo.com

## Abstract

Given the importance of the industry and because the quality of the products reflect the promoted and progress and the advancement of the economy of any country , including the textile industry one of the most important industries that require quality. As the methods of automation was necessary to use computer vision and image processing to increase the speed and efficiency of this process. Aims of the proposed work to integrate the image processing methods and intelligence techniques as well as statistical approaches. Where analysis techniques multiple scales multi-scale and multi-directional multi-orientation as a filter Gabor are used. And this filter has proven its efficiency in edge detection and give the best features by which they are distinguished types of defects which you may get during the spinning and weaving . Hence the formulation of how they can address the installation of textile and defective areas of the cloth and to identify any kind of flaws in them.

To raise the level of this process when checking woven-fabrics and identify defects. The proposed work includes two phases, the first phase is to detects detection in fabric images and the second stage is the stage of classification defects. At the separation phase image is converted into frequency space by conversion sinus intermittent (DCT). Then features are



extracted and inserted into the Backpropagation neural network where the separation process is done. Either at the stage of classification are images are converted into frequency domain by Gabor transmition .And then draw features images are inserted into the Backpropagation neural network to classify fabric defects in those images .

To verify the efficiency of the techniques used, live images were collected as a database of fabrics from the textile laboratory in Mosul as well as the local market. The fabrics were carefully chosen with fabrics of different types and colors and fourteen different types of Fabric defects. System was used (Matlab 2013). Explained the proposed work discrimination ratio ( 97.5%) compared to the results of the other works in the same field approach.

**Keyword:** weft direction defect, warp direction defect, Hole, Stain, statistical approaches, neural-networks, mean, Skewness, median.

## المقدمة .I

أن أهمية السيطرة النوعية على المنتجات الصناعية تزداد يوما بعد يوم، وتعرف السيطرة النوعية بأنها "معرفة مدى مطابقة المنتجات للمواصفات القياسية ومعرفة أسباب الانحراف

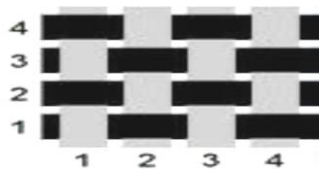


والإجراءات الالزامية لذلك" و تعد صناعة الغزل والنسيج من الصناعات التي تتطلب الجودة لتلبية رغبة المستهلك، وأمست الرقابة عليها أكثر أهمية عند المنتج لloffage برغبة المستهلك [1]. إذ إنها تعكس الصورة الحقيقة لنوعية المنتجات وان مرور أية كمية غير مطابقة للمواصفات المطلوبة يسبب ضرراً للمستهلك والى المساس بسمعة المنشأة المنتجة إضافة إلى الكلفة حيث انه يقلل من سعر القماش بنسبة (45) % - (65) %. وعليه يجري التركيز على فحص القماش وتقارن مواصفاته مع المواصفات المعملية القياسية والتي بموجبها يتم تصنيف الأقمشة حسب درجات جودتها ( درجة أولى ، درجة ثانية ) ويتم عزل غير القياسي منها والذي لا يفي بمتطلبات الدرجة النوعية إلى عوادم يجري تحديد الجهة المسئولة عنها [2]. لذا فقد أولى الباحثون اهتماماً كبيراً لأنظمة فحص الغزل والنسيج الآوتوماتيكية والتي تختصر الوقت بشكل كبير بالإضافة إلى ما تعطيه من دقة عالية في عملية الفحص [3]. تميز الأقمشة عادة باختلاف تراكيبها النسيجية من نوع إلى آخر بالاعتماد على نوع الخيوط المستخدمة وطريقة تشابك هذه الخيوط.

## II. التراكيب النسيجية

تتكون المنسوجات من نوعين من الخيوط، الخيوط الطولية وتسمى السّدّاة والخيوط المستعرضة وتعرف باسم الحشو أو اللّحمة. وتشتب خيوط السّدّاة في النول عن طريق مجموعة من الأطر تسمى ضفائر. وأثناء عملية صناعة القماش ترفع الضفائر بعض خيوط السّدّاة ويُخفض بعضها الآخر. وتؤدي هذه الحركة إلى وجود فراغ بين الخيوط. ويقوم الملقظ بحمل خيوط اللّحمة في الفراغ، وبالتالي يُكون الخيوط المستعرضة للقماش. ويعتمد شكل النسيج الناتج من هذه العملية على طبيعة منظومة ارتفاع الضفائر وانخفاضها. وتوجد ثلاثة أنماط أو نماذج للنسيج وهي بالشكل التالي: [11]

- ١) النسج العادي أو السادة **plain weave**: يعتبر أبسط أنواع النسج وأكثرها انتشاراً، ففي الصوف الفردية يمرر خيط اللّحمة تحت خيط السّدّاة الأول وفوق خيط الثاني وهكذا، وفي الخطوط الزوجية يمرر خيط الحشو فوق خيط الأساس الأول، وتحت خيط الثاني [11]. ومن الأمثلة على الأقمشة السادة التقى، الشيفون ، الشاش، الورجنزا، الجورجي، التيل، البوبلين [12] وكما في الشكل (1).



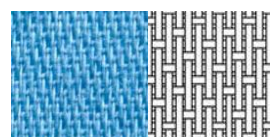
شكل (1) النسج العادي [12]

(٢) النسج المبرد twill weave: يظهر على شكل خيوط مائلة قطرية، وفيه تتعاشق خيوط السداء مع خيوط اللحمة في زوايا 45 درجة في المبارد العادية أو أقل أو أكبر في المبارد الممتدة. ويتميز النسيج المبرد بتماسكه ومتانته وثقته نتيجة لزيادة عدد الخيوط الداخلة في وحدة التكرار، كما أنه لا يتتسخ بسهولة [13]. ومن الأمثلة على الأقمشة المبردة الجينز، الفانيلا [12] لاحظ الشكل (2).



شكل (2) نسج المبرد [12]

(٣) نسج الاطلس satin weave: يتميز بصفة عامة بسطح لامع ناتجة لتفرق مواضع تقاطع الفتل واللحمات أو نتيجة لقلة عدد التقاطعات مما يسمح بزيادة انعكاس الضوء على القماش [13]. والشكل (3) يوضح هذا النوع من النسيج [12].



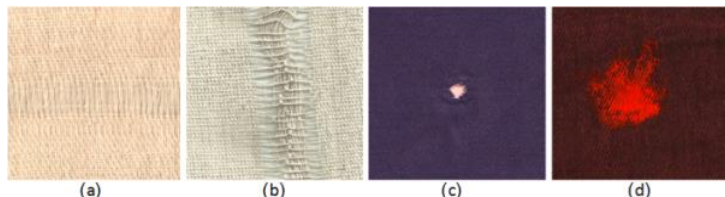
شكل (3) نسج الاطلس [12]

### III. تحلييل العيوب defect analysis

تعتبر عملية تحلييل العيوب خطوة مهمة في عملية فحص النسيج الآوتوماتيكي، وهي تعتبر من العمليات الأولية التي تسبق الكثير من خطوات العمل. وان تحلييل العيوب يساعد في فهم خصائصها، مما يعطي دلائل على اختيار الصفات المناسبة. ولقد تم التعامل مع أربعة أنواع من عيوب النسيج الشائعة والتي اعتمدت في قاعدة بيانات البحث وهي [1] عيب باتجاه اللحمة weft direction defect وهو من اشد العيوب والتي تبدو كشريط من ظل ألوان القماش وعادة تكون طويلة تمتد على عرض القماش [1][14] ، كما في الشكل (4-a). وعيوب باتجاه السداء warp direction defect



وهو من العيوب الشديدة أيضا والتي تبدو كشريط من ظل ألوان القماش وعادة تكون طويلاً تتدلى على طول القماش [14] ، كما في الشكل (4-b). والثقب Hole وهو من عيوب النسيج التي تظهر بشكل قریب من الدائرة بلون الخلفية وحجمه مختلف من صغير إلى متوسط الحجم، ويمكن أن يبدو شكله بيضاوي إذا كانت كاميرا الالتقط [1]، كما في الشكل (4-c). أما البقعة Stain فهي من العيوب الغريبة والشاذة بسبب مظاهرها وطبيعتها فهي لا تظهر بشكل معين وقد تبدو في شكل متباين من لون واحد على نسيج من لون آخر وحجمها مختلف على نطاق واسع من متوسط إلى كبيرة تصبح غير واضحة في الصورة الملتقطة في بعض الحالات تتطلب كاميرا عالية الدقة وإضاءة مناسبة من أجل التقاط صورة واضحة [1]، كما في الشكل (4-d).



شكل (4) أنواع النسيج: (4-a) عيب باتجاه اللحمة، (4-b) عيب باتجاه السداء  
(4-c) عيب الثقب، (4-d) عيب البقعة

#### IV. طرائق فحص النسيج

تعدّت طرائق فحص النسيج والكشف عن العيوب التي قد تحصل فيه خلال عملية الغزل والنسيج ومن الممكن تصنيف هذه الطرائق إلى ثلاثة أصناف، وهي الطرائق الإحصائية statistical approaches والتي تعتمد هذه الطرائق في كشف وجود عيب في صورة الفحص على السلوك الإحصائي المتميز لمناطق الصورة والفرضية المهمة في هذه العملية هي أن الإحصاءات في المناطق الخالية من العيوب تكون ثابتة وهي المناطق التي تمتد على الجزء الأكبر من الصورة. ومن أمثلة هذه الطرائق، طريقة البعد الكسري fractal dimention، والارتباط المتقطع cross-correlation والكشف عن الحواف edge detections والعمليات المورفولوجية morphological operation والشبكات العصبية neural-networks [15]، [16]، [17]. والطرائق الطيفية spectral approaches وهي من طرائق الرؤية الحاسوبية القوية والفعالة في الكشف عن عيوب النسيج حيث تكشف أهميتها عندما تعجز الطرق الإحصائية في كشف العيوب التي تظهر عند تحولات الكثافة

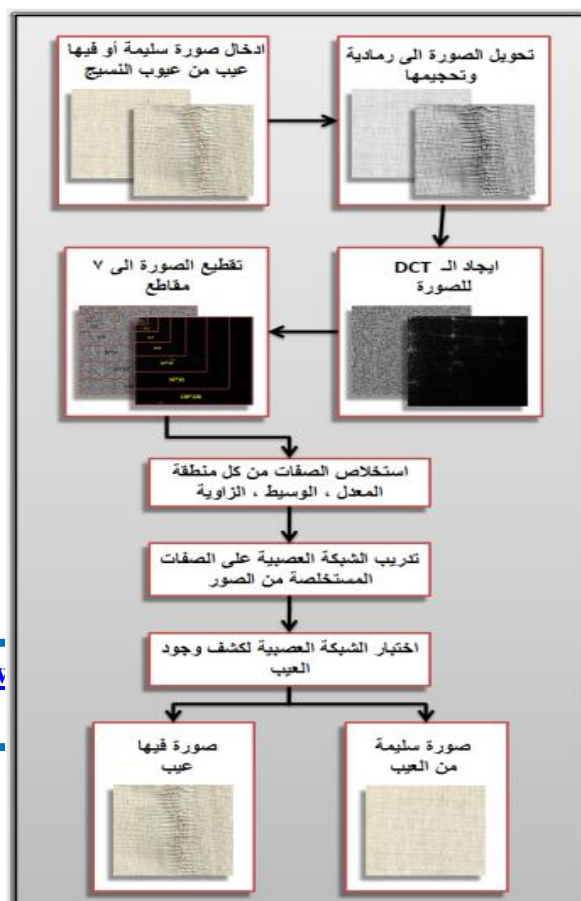


الخفيه والدقيقة جداً. ومن أمثلتها تحويل فورييه المنفصل DFT وتحويل فوريية الصوافي OFT [15]،[16]،[17] وتحويل الموجات WFT ومرشحات جابور Gabor filters [15]،[16]،[17]. والطرائق المستندة إلى نموذج model-based approaches [15] وهي طرائق مناسبة لصور النسيج خاصة مع وجود اختلافات السطح العشوائية (كومة من الألياف أو ضوضاء)، كذلك للأقمشة المزخرفة بشكل عشوائي أو النقش اليدوي والتي لا تقيدها الطرق الإحصائية والطيفية. وبعد نموذج ماركوف كاووس العشوائي Gauss Markov Random Field model ونموذج بواسون Poisson's model والنموذج القائم على العنقدة model-based clustering أحدى أهم الطرائق في هذا المجال [15]،[16]،[17].

## V. خطوات خوارزمية العمل المقترنة

تضمنت خوارزمية العمل المقترنة مرحلتين المرحلة الأولى هي اكتشاف العيوب والمرحلة الثانية هي تصنيف العيوب إلى أحد الأنواع الأربع عيب طولي، عيب عرضي، ثقب، وبقعه، ولقد تم اعتماد هذه الأصناف لأن أغلب العيوب الحاصلة في الأقمشة أثناء الغزل تدرج تحت هذه الأصناف الأربع. في المرحلة الأولى تم معالجة الصور الخالية من العيوب وكذلك الصور التي تحتوي على أنواع العيوب المذكورة أعلاه، ومن ثم تقطيعها واستخلاص الصفات الإحصائية الجيدة، لتسليمها الشبكة العصبية ذات الانتشار العكسي وتقوم بكشف وجود العيب من عدم وجوده في صورة الفحص الصفات. والشكل (5) المرحلة الأولى.

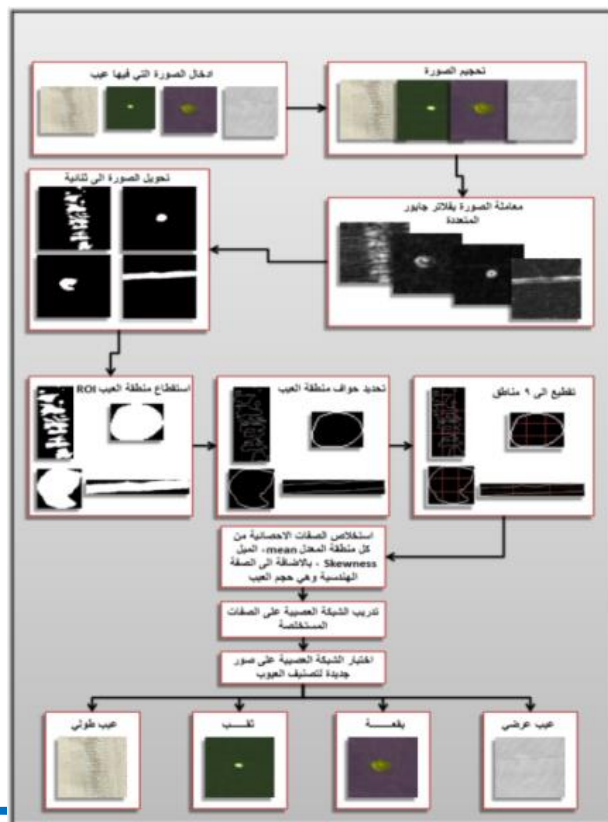
وبالاعتماد على هذه  
يوضح خطوات





شكل (5) مرحلة اكتشاف العيوب

أما في المرحلة الثانية ف يتم معالجة الصور المعيبة فقط والتي تحتوي أنواع العيوب الأربع السابقة الذكر، ومن ثم تقطيع هذه الصور واستخلاص الصفات الإحصائية المناسبة، لتقديم الشبكة العصبية ذات الانتشار العكسي بعدها بعملية تصنیف العيوب إلى أصناف العيوب الأربعة ، والشكل (6) يوضح خطوات المرحلة الثانية مرحلة تصنیف العيوب وخطوات العمل هي كالتالي:





شكل (6) مرحلة تصنيف العيوب

### تكوين قاعدة البيانات وتحجيم الصور

تمت الدراسة بعد الزيارة الميدانية لمعمل الغزل والنسيج في الموصل إذ جمعت صور الأقمشة بصورة حية من خلال التقاطها بكاميرا رقمية نوع (samsung nv lens) وبدقة (8 mega pixel) فضلا عن أخذ عينات من الأقمشة من المعمل ومن السوق المحلية واكتساب الصور منها عن طريق الماسح الضوئي نوع (HP) وبدقة (300 dpi) إذ تم التعرف على أنواع من الأقمشة والعيوب الموجودة فيها فضلا عن صور أخرى سليمة لتقى المقارنة بها. حزنت الصورة بملف ذي امتداد png ، ويشار من خلال [18] إلى أن الصور المخزونة بها الامتداد من نوع المضغوطة بلا فقدان للبيانات والتي تدعم الألوان الحقيقية لذلك تعد الأفضل للتعديل على الصور مقارنة بالصور ذي الامتداد jpg والتي هي من نوع المضغوطة القابلة لفقد البيانات وتقل جودتها مع كثرة الحفظ والتعديل. تم تجميع 160 صورة 80 منها صور سليمة من العيب بواقع 20 صورة لكل نوع من أنواع التراكيب النسيجية المستخدمة، و 80 صورة أخرى فيها أحد العيوب الأربع المذكورة آنفاً، من كل صنف من العيوب 20 صورة. لت تكون لدينا قاعدة بيانات حية متضمنة أنواع التراكيب النسيجية المختلفة وأصناف العيوب، ثم تبدأ عملية توحيد أحجام الصور لكل من مجموعة التدريب والاختبار لأن الصور مختلفة الأحجام، وتحجيم الصورة إلى (256\*256) بكسل يضمن لنا جودة الصفات المستخلصة وسرعة ودقة التصنيف بواسطة الشبكة العصبية لاحقاً. ولقد استخدمت خوارزمية التحجيم imresize bilinear لهذا الغرض، والشكل (7) يوضح عينات من صور قاعدة البيانات.





### شكل (7) صور من قاعدة البيانات

## المرحلة الأولى - مرحلة اكتشاف العيوب في الأقمشة

ويتم في هذه المرحلة معالجة الصور المعيبة وغير المعيبة والتمييز بينها وتحويلها إلى فنتين منفصلتين فئة الصور المعيبة وفئة الصور الخالية من العيوب. وكما في الخطوات التالية:

المعالجة الأولية: بعد قراءة الصورة يتم تحويلها إلى صورة رمادية، لتقليل العمليات الحسابية الغير ضرورية حيث يتم اعتماد التدرج الرمادي (gray level) في التعامل مع محتويات الصورة ضمن العمل المقترن. يلي ذلك يتم تطبيق تحويل الجيب تمام المتقطع Discrete Cosine Transform (DCT) لغرض تحويل الصورة من الحيز المكاني إلى الحيز الترددية. وبعد تحويل الجيب تمام المتقطع تحول خطى للقطع يرتبط ارتباطا وثيقا بتحويل فورييه المتقطع (DFT). ويمكن تعريف 2D-Discrete Cosine Transform (2D-DCT) كالتالي:

$$B(m,n) = u(m)u(n)2/N \sum_{i=0}^{M-1} \sum_{j=0}^{N-1} A(i,j) (\cos(2i+1)m\pi/2M)(\cos(2j+1)n\pi/2N) \dots \quad (1)$$

$$m = 0, 1, 2, \dots, M-1$$

$$n = 0, 1, 2, \dots, N-1$$

$$u(m) = u(n) = 1/\sqrt{2} \dots m, n = 0$$

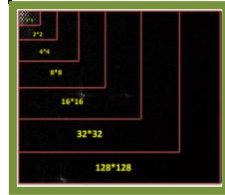
$$u(m) = u(n) = 1 \dots m, n \neq 0$$

وان  $N$  و  $M$  تمثل عدد الأسطر والأعمدة، أي أبعاد الصورة تحت التطبيق.

وترتب المعاملات بعد إدخالها إلى DCT بشكل معاملات تحتوي على طاقة عالية وتدعى Discrete Amplitude-Coefficients (AC) وتقع في الزاوية العليا اليسرى. أما المتبقى فقد تدعى Discrete Coefficients (DC) وتنتشر في كل موضع الصورة. بعدها يتم تقطيع الصورة الناتجة بإحدى طريقتين أما التقطيع العلمي للصورة بالطريقة المبينة في الشكل (8) للاستفادة من معاملات الطاقة العالية التي تم حصرها في الزاوية العليا اليسرى بواسطة تحويل الجيب تمام المقطوع، أو تقطيع الصورة بالطريقة المبينة في الشكل (9).



شكل (9) تقسيم 2



شكل (8) تقسيم 1

**استخلاص الصفات:** من كل منطقة من مناطق الصورة يتمأخذ المعامل الواقع في زاوية كل منطقة (corner) ومعدل ترددات نقاط المنطقة (mean) ومتوسط تردداتها (median). ثم يتم تعبييرها (normalization) في متوجه يمثل صفات الصورة وتهيئة هذا المتوجه كإدخال للشبكة العصبية من خلال مرحلة كشف العيب.

ويمكن حساب المعدل mean عن طريق المعادلة (2) [20]:

$$\bar{X} = \frac{x_1 + x_2 + \dots + x_n}{N} \quad \dots \dots \dots \quad (2)$$

حيث أن  $\bar{X}$ : المعدل ، N: عدد نقاط البيانات ،  $x_i$ : نقاط الصورة

ولحساب الوسيط median للصورة يتم حساب القيمة المتوسطة للصفوف المرتبة تصاعديا والتي تكون عدد البكسل فيها عدد فردي، ثم تحسب القيمة المتوسطة median للصفوف المرتبة تصاعديا والتي تكون عدد البكسل فيها عدد زوجي وبحساب المعدل بينهما نحصل على القيمة المتوسطة وكما في المعادلات (3),(4) على التوالي [21]:

$$\text{Median} = x_m | (x_1, x_2, \dots, x_m, x_{m+1}, \dots, x_n) \quad \text{where } n \text{ is odd} \quad \dots \dots \dots \quad (3)$$

$$\text{Median} = \frac{(x_m + x_{m+1})}{2} | (x_1, x_2, \dots, x_m, x_{m+1}, \dots, x_n) \quad \text{where } n \text{ is even} \quad \dots \dots \dots \quad (4)$$

**1) كشف العيب :** يتم في هذه المرحلة التعامل مع صور الفحص لغرض تحديد وكشف وجود العيب من عدم وجوده في هذه الصور وذلك باستخدام الشبكة العصبية ذات الانشار العكسي، التي تتكون من طبقة إدخال متضمنة 21 وحدة إدخال، وطبقة مخفية واحدة تتكون من 10 وحدة معالجة أي



تقريباً نصف عدد طبقة الإدخال، وطبقة الإخراج التي تتكون من وحدة معاجلة واحدة وبين كل طبقة من هذه الطبقات هناك طبقة من الوصلات البينية التي تربط كل طبقة بالطبقة التي تليها والتي يتم فيها ضبط الأوزان الخاصة بكل وصلة بينية حيث يرتبط الوزن بكل زوج من الخلايا العصبية، فالأوزان تمثل كمتجه وزن ( $w_1, w_2, \dots, w_n$ ) ، حيث يمثل الوزن المرتبط بالاتصال بين وحدة إدخال وعنصر معاجلة أو بين عنصري معاجلة. وتحتوي الخلية العصبية كذلك على قيمة عتبة (تابع التفعيل) الذي ينظم احتمالية التفعيل ويحد من إخراج الخلية حيث يجعل الإخراج ضمن المجال [0,1] أو ضمن المجال [1,-1]. بينما تحدد الأوزان المرتبطة مع مدخلات الخلية العصبية احتمالية تفعيل الخلية العصبية وحسب المعادلة (5) الآتية [22]:

$$SUM = \sum_{i=1}^n X_i W_i \quad \dots \dots \dots (5)$$

حيث تمثل  $X_i$  وحدات الإدخال و  $W_i$  متجه الأوزان. وتقوم العتبة بتنظيم استجابة الخلية العصبية لتقع ضمن مدى معين من القيم المحددة مسبقاً وحسب المعادلة الآتية [22]:

$$y = f\left(\sum_{i=1}^n X_i W_i\right) \quad \dots \dots \dots (6)$$

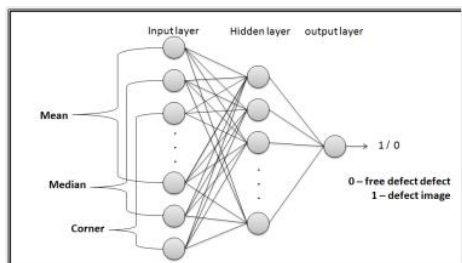
وتوضح المعادلة (6) الإخراج  $y$  للخلية العصبية كدالة تنشيط  $f$  لمجموع  $n+1$  من المدخلات الموزونة، حيث أن  $n+1$  تقابل  $n$  من الإشارات الداخلية. ثم تحسب قيمة الإخراج الفعلي حسب نوع دالة التنشيط المستخدمة، وهنا استخدمت دالة العتبة وكما في المعادلة (7) [22]

$$f(x) = \begin{cases} 1 & \text{if } \sum_{i=1}^n X_i W_i > 0 \\ 0 & \text{if } \sum_{i=1}^n X_i W_i \leq 0 \end{cases} \quad \dots \dots \dots (7)$$

ومرحلة كشف العيب تمر أيضاً بطورين بما طور التدريب لتدريب الشبكة على صفات كل صورة والإخراج المتوقع لها، وطور الاختبار ليتم من خلاله اختبار الشبكة على صور الاختبار التي لم يتم



تدريبها ولاكتشاف فيما إذا كانت صورة الاختبار معيبة أم لا. ثم يتم تدريب الشبكة على متجهات صفات الصور والتي تم تكوينها بعد استخلاص الصفات من الصور. وذلك لغرض تعليم الشبكة لتمكن من الكشف عن وجود العيب وتصنيف الصورة إما إلى صورة معيبة أو لا، بعض النظر عن نوعية العيب والنتيجة بالنظام الثنائي بمعنى إذا كان الإخراج "0" فهي صورة خالية من العيب إما إذا كان الإخراج "1" فالصورة معيبة. وقد تم تكوين مصفوفة التدريب من صفات لـ 130 صورة 65 منها بدون عيب و 65 الأخرى فيها عيب وتكوين مصفوفة الهدف التي تقابلها. والتي تكون إحدى خيارين إما "0" أو "1"، أول 65 صورة إخراجها "0"، والصور 65 الأخيرة إخراجها "1". والشكل (10) يبيّن مخطط الشبكة العصبية المستخدمة في هذه المرحلة. بعد ذلك يتم اختبار الشبكة العصبية لكشف العيب وتتبع نفس خطوات المعالجة الأولية واستخلاص الصفات لغاية الحصول على متجه صفات الصورة المدخلة، يدخل هذا المتجه إلى الشبكة العصبية للتعرف على نوع الصورة فإذا كان الإخراج "0" فإن صورة الاختبار تنتمي إلى الصنف الأول وتمثل صورة نسيج خالية من العيب إما إذا كان الإخراج "1" فإن صورة النسيج تنتمي إلى الصنف الثاني وتمثل صورة نسيج فيه عيب.



الشكل (10) الشبكة العصبية ذات الانتشار العكسي لكشف العيب

#### A. المرحلة الثانية- تصنیف عيوب النسيج

ويتم في هذه المرحلة معالجة صور النسيج المعيبة فقط وهي 80 صورة وتصنيفها بواسطة الشبكة العصبية ذات الانتشار العكسي إلى أربعة فئات تمثل أصناف العيوب الأربع . وكما في الخطوات الآتية:

١) المعالجة الأولية و قطع منطقة العيب (ROI- Region Of Interest) من الصور: بعد قراءة صورة النسيج المعيبة وتحجيمها يتم معاملتها بمرشحات جابور، وان استخدام هذا النوع الخاص من المرشحات مثل مرشح جابور أعطى نتائج أفضل في تحسين وإبراز المعلم ل لأنسجة المختلفة. إذ تم



استخدام مرشح جابور ذي البعدين 2D كأحد مرشحات التحويل المويجي والذي له ميزة توافقة في تجميع المعلومات المحلية للصورة بشكل مثالي في الوصول إلى الحد الأدنى لأوجه التشابه ما بين الحيز المكاني والحيز الترددية للبيانات الداخلية وذلك لإبراز وتحديد العيوب الموجودة في الصورة. والمعادلة رقم (٨) تمثل معادلة جابور ذات البعدين 2D-Gabor function [23]:

$$g_{w2D}(x, y) = \frac{1}{\sigma\sqrt{\pi}} e^{-\left(\frac{(x-x_0)^2+(y-y_0)^2}{2\sigma^2}\right)} e^{-j2\pi f((x-x_0)\cos(\theta)+(y-y_0)\sin(\theta))} \quad (8)$$

حيث تمثل  $\sigma$  الانحراف المعياري لمغلف كاوزين standard deviation of orientation Gaussian envelope. أما  $\theta$  فهي زاوية الاتجاه deviation of peak of the function  $(x_0, y_0)$  هي نقطة قمة الدالة.

B. بعدها يتم تحويل الصورة الرمادية الناتجة من جابور إلى صورة ثنائية، وذلك بتحويل كل بكسل في الصورة الرمادية والمشار له  $x_i \in [0,1]$  إلى بكسل في الصورة الثنائية المقابلة والذي يتمثل بـ  $b_i \in \{0,1\}$  حيث أن "0" يشير إلى "أسود" ويشير "1" إلى " أبيض" وتدعى هذه العملية بعملية Binarization. وهناك عدة أساليب لتنفيذ عملية Binarization منها Global fixed threshold وهي المستخدمة هنا حيث يتم استخدام حد عتبة ثابت كالآتي  $b_i = 1 \text{ if } x_i \geq 0.5 \quad \& \quad b_i = 0 \text{ if } x_i < 0.5$ . وبتطبيق مرشح المعدل (7\*7) [24]. إزالة الشوائب من الصورة الثنائية الناتجة وتحسين الصورة. ثم يتم قطع منطقة العيب ROI وهي عملية مهمة لتمييز العيب حيث أنها تمنع تكرار الصفات المستخلصة وهذا التكرار يحصل إذا تم أخذ صفات الصورة بالكامل بالإضافة إلى أنها تقلل من أبعاد مصفوفة الإدخال إلى الشبكة العصبية لاحقا. وقد تم بناء خوارزمية تقوم بالتقاطيع الآلي لمنطقة العيب. وفي هذه الخوارزمية يتم تمرير المصفوفة الثنائية الممثلة للصورة الثنائية إلى خوارزمية التقاطيع (Icroped) التي تم بناؤها لتقوم بالتقاطيع الآلي على خطوتين متتاليتين في الخطوة الأولى ويتم التقاطيع باتجاه الأعمدة لقطع الأسطر الغير تابعة للمنطقة البيضاء وهي منطقة العيب، بعدها يتم التقاطيع باتجاه الأسطر لغرض قطع الأعمدة المحيطة بمنطقة العيب وبهذا تكون قد استقطعنا الجزء المهم من صورة النسيج وهو جزء العيب.

C. ٢) استخلاص الصفات و تصنيف العيوب : يتم حساب الحجم الكلي لمنطقة العيب واعتبارها كإحدى صفات الصورة الهندسية. ثم يحدد محيط منطقة العيب بعامل كاني لكشف الحواف canny



operators. يليه تقطيع الصورة إلى 9 خلايا (3\*3) ومن كل خلية يتم استخلاص صفتين هما معدل الترددات (mean) و الميل (Skewness) ليكون لدينا (9\*2) 18 صفة إحصائية وبإضافة السمة الهندسية المحسوبة قبل التقطيع وهي الحجم الكلي لمنطقة العيب فيكون مجموع الصفات المستخلصة من الصورة 19 صفة. يتم ترتيب صفات صور العيوب في مصفوفة ثنائية عدد صفوفها يمثل عدد الصور وعدد أعمدتها يمثل عدد الصفات وهكذا تكون مصفوفة الإدخال إلى الشبكة العصبية لغرض تصنیف أنواع العيوب. ويمكن حساب العزم الثالث المتمثل بالميل عن طريق المعادلة (9) الآتية [20]:

$$skewness = \frac{1}{N} \left( \frac{\sum_{i=1}^N (X_i - \bar{X})^3}{\sigma^3} \right) \quad ... ..... (9) .D$$

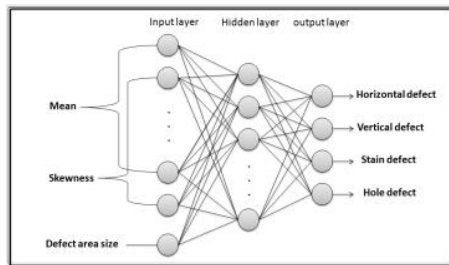
.E

ثم تصنیف العيوب إلى أصنافها الأربعة المبينة سابقاً وذلك باستخدام الشبكة العصبية من نوع شبكة الانتشار العکسي وتمر هذه العملية بطورين بما تدریب الشبكة العصبية واختبارها. أما هيكلية الشبكة العصبية المستخدمة هنا فهي تتكون من طبقة إدخال تتضمن 80 وحدة إدخال، يليها طبقة مخفية واحدة تتكون من 40 وحدة معالجة أي نصف عدد طبقة الإدخال أما طبقة الإخراج فتتكون من 4 وحدات معالجة لتعطی أربعة اخراجات لتصنیف العيوب الأربعة فإذا كان أول إخراج قيمته "1" والبقية أصفار هذا دليل على أن هذا المخرج تابع للعيوب الأول أما إذا كان الإخراج الثاني هو "1" والبقية أصفار فهو إخراج يندرج تحت العيوب الثاني وكذلك بالنسبة للعيوب الثالث فالإخراج الثالث سيكون "1" ، وللعيوب الرابع الإخراج الرابع ستكون قيمته "1".

**الطور الأول- تدريب الشبكة العصبية:** يتم تدریب الشبكة على متوجهات صفات الصور المعيبة والتي تم تكوينها بعد استخلاص الصفات من تلك الصور. وذلك لغرض تعليم الشبكة لتمكن من تصنیف العيوب. كل متوجه إدخال يتكون من 19 قيمة والتي تمثل معدل الترددات (mean) الموجودة في كل خلية، والعزم الثالث المتمثل بالميل (Skewness) لكل خلية، بالإضافة إلى صفة حجم منطقة العيب وبعد تعییر(normalization) هذه الصفات بالنسبة لأعلى قيمة وبواسع 9 مناطق لكل صورة. وقد تم تكوین مصفوفة التدريب من صفات لـ 60 صورة 15 صورة من كل عيب وتكوين مصفوفة الهدف التي تقابلها، والتي تكون بالشكل ويتبقى 20 صورة للاختبار، 5 من كل عيب.



**الطور الثاني- اختبار الشبكة العصبية لتصنيف الصور:** وتتبع نفس خطوات المعالجة الأولية واستخلاص الصفات لغاية الحصول على متوجه صفات الصورة المدخلة، ثم يتم إدخال هذا المتوجه إلى الشبكة العصبية للتعرف على نوع الصورة فإذا كان الإخراج 0001 فإن صورة الاختبار تنتهي إلى الصنف الأول وتمثل صورة نسيج فيها عيب من نوع "العيوب العرضي" ، وإذا كان الإخراج 0010 فإن صورة الاختبار تنتهي إلى الصنف الثاني وتمثل صورة فيها عيب من نوع "العيوب الطولي" ، وإذا كان الإخراج 0100 فإن صورة الاختبار تنتهي إلى الصنف الثالث وتمثل صورة فيها عيب من نوع "عيوب البقعة" ، إما إذا كان الإخراج 1000 فإن صورة الاختبار تنتهي إلى الصنف الرابع وتمثل صورة فيها عيب من نوع "عيوب الثقب". والشكل (11) يبين هيكلية الشبكة العصبية المستخدمة في هذه المرحلة.



الشكل (11) الشبكة العصبية ذات الانشطار العكسي لتصنيف العيوب

## VI. النتائج ومناقشتها

A. من خلال التطبيق العملي للخوارزمية المقترنة تم تدريب الشبكة العصبية الأولى لاكتشاف العيوب بعد تغذيتها بالصفات التي استخلصت من خوارزمية DCT. يعد استخدام التقطيع المقترن في شكل (6) احتزل الصفات من (65536 صفة) إلى (21 صفة)، وركز على الصفات الجيدة، بالإضافة إلى انه اختصر وقت تدريب الشبكة العصبية بمقدار (0:25:93) دقيقة حيث تبين بالتجربة انه في حالة استخدام التقطيع الاعتيادي المتمثل بالشكل (7) واستخلاص الصفات من تلك المناطق وإدخالها إلى الشبكة العصبية كان الوقت المستغرق (0:27:11) دقيقة بينما كان الوقت في حالة التقسيم الموضح في شكل (6) يقدر بـ (0:01:18) دقيقة كما موضح في الجدول (1).



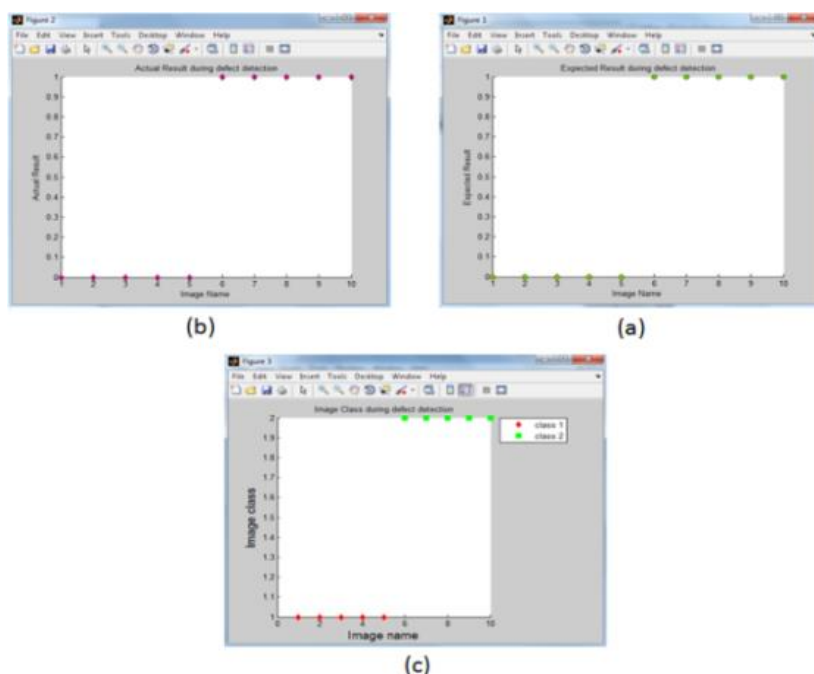
( ) مقارنة طريقي تقطيع الصور 1 جدول (

نوع التقسيم	الوقت	الأداء	الميل	نسبة التمييز	عدد التكرارات
شكل 6	0:01:18	0.00100	0.0006.9	% 100	4770
شكل 7	0:27:11	0.00194	0.160	%100	100000

B. تم تدريب الشبكة العصبية على 130 صورة منها 65 صورة نسيج طبيعي سليم من العيوب 65 صورة لنسيج يحوي على عيوب النسيج الأربعة السابقة الذكر ويتم تهيئة 30 صورة غير مدربة على الشبكة العصبية منها 15 صورة من صور النسيج السليمة من العيوب و 15 هي صور فيها عيوب وبعد اختبار الشبكة العصبية الأولى كانت النتيجة مطابقة لكل الصور فكانت نسبة التمييز (100%). والجدول رقم (2) يوضح عينات من نتائج الشبكة العصبية الأولى في مرحلة اكتشاف العيوب:

جدول (٢) نتائج عملية اكتشاف وجود عيوب

الصورة	الإخراج المتوقع	الإخراج الفعلي	التطابق	الصنف	اسم الصنف
F1	0	0	مقبول	1	صورة سليمة من العيوب
F2	0	0	مقبول	1	صورة سليمة من العيوب
F3	0	0	مقبول	1	صورة سليمة من العيوب
F4	0	0	مقبول	1	صورة سليمة من العيوب
F5	0	0	مقبول	1	صورة سليمة من العيوب
D1	1	1	مقبول	2	صورة فيها أحد العيوب
D2	1	1	مقبول	2	صورة فيها أحد العيوب
D3	1	1	مقبول	2	صورة فيها أحد العيوب
D4	1	1	مقبول	2	صورة فيها أحد العيوب
D5	1	1	مقبول	2	صورة فيها أحد العيوب



شكل (12) نتائج عملية كشف وجود العيب في صور النسيج - (a) يمثل الإخراج المتوقع لكل الصور (b) يمثل الإخراج الفعلي لكل الصور (c) يمثل تصنيف الصور إلى صفين



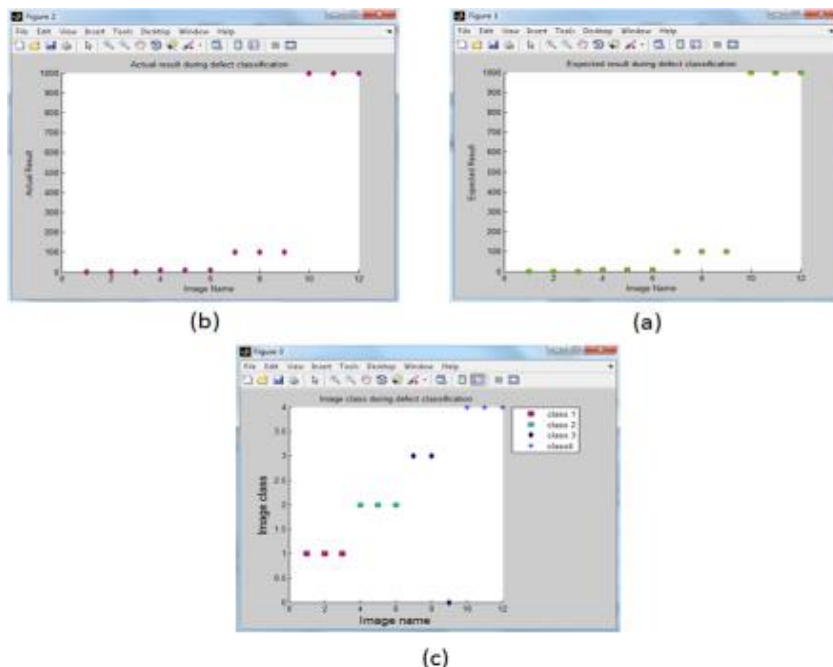
C. تم استخدام تحويل جابر في تصنیف العيوب بعد استخلاص الصفات وإدخالها إلى الشبکة العصبیة الثانية وقد تم اختبار 20 صورة من الصور المعيبة بواقع 5 صور من كل نوع من العيوب الأربع على الشبکة العصبیة الثانية الخاصة بتصنیف العيوب، وقد تطابقت نتیجة 19 صورة ما عدا صورة واحدة لم تكن مطابقة لذا كانت دقة التصنیف (97.5%). وبنسبة خطأ (3.33%)، والجدول رقم (٣) يوضح عینات من نتائج الشبکة العصبیة الثانية في مرحلة تصنیف العيوب.

جدول (3) نتائج عملية تصنیف العيوب

اسم الصنف	الصنف	التطابق	الإخراج الفعلي	الإخراج المتوقع	الصورة
عيوب أفقى	1	مقبول	0001	0001	H1
عيوب أفقى	1	مقبول	0001	0001	H2
عيوب أفقى	1	مقبول	0001	0001	H3
عيوب طولي	2	مقبول	0010	0010	V1
عيوب طولي	2	مقبول	0010	0010	V2
عيوب طولي	2	مقبول	0010	0010	V3
بقعة	3	مقبول	0100	0100	S1
بقعة	3	مقبول	0100	0100	S2
غير معروف	0	غير مقبول	0000	0100	S3
نقب	4	مقبول	1000	1000	Ho1
نقب	4	مقبول	1000	1000	Ho2
نقب	4	مقبول	1000	1000	Ho3

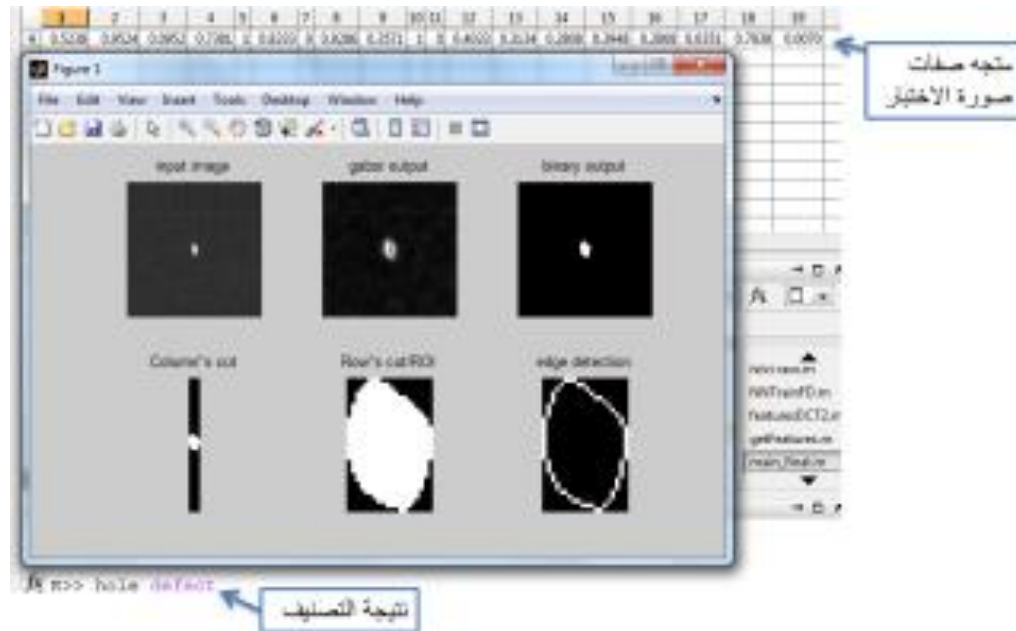


والشكل رقم (13) يوضح نتائج تصنیف عيوب النسيج بالاعتماد على جدول رقم (2):



شكل (13) نتائج تصنیف عيوب النسيج - (a) يمثل الإخراج المتنوع لكل الصور (b) يمثل الإخراج الفعلي لكل الصور (c) يمثل تصنیف الصور إلى أربعة أصناف

والشكل (14) يبيّن صورة نسيج معيب والمعالجات التي تمت عليها واستخلاص الصفات ومن ثم تحديد صنف العيوب وهو هنا من نوع الثقب.



شكل (14) إحدى صور الاختبار و 19 صفة المستخلصة من الصورة النهائية

## VII . الاستنتاجات



بعد المطالعة النظرية للعمل المقترن والتطبيق العملي الذي تم فيه دمج طرائق معالجة الصور من خلال استخدام تحويل جابور والجيب تمام المقطع مع التقنيات الذكائية باستخدام الشبكة العصبية المتمثلة بشبكة BPNN لاكتشاف وتصنيف العيوب في صور النسيج موضوع البحث. تم التوصل إلى الاستنتاجات التالية:

١. تم الحصول على نسبة تمييز تصل إلى 97.5% وهذه النسبة تعتبر ممتازة مقارنة بنساب أخرى في بحوث نفس المجال، إلا أن العمل لا يمكن أن يصل الكمال لأن لكل أسلوب محاسنه ومساوئه.
٢. وضح أسلوب كبس البيانات المتمثل بخوارزمية التحويل الجيبي المقطع DCT والذي حصر الصفات ذات الطاقة العالية في الزاوية اليسرى العليا كما أن التقاطع العلمي الذي استخدم أدى إلى اختزال حجم الصفات وحجم البيانات الكبير الذي تطلبه مثل هذا العمل.
٣. تم اعتماد صور حية من الأقمشة السليمة من العيوب والأقمشة المعيبة لتناسب العمل المقترن والتي أعطت نتائج أفضل من صور مسحوبة من قواعد بيانات على الإنترنيت.

## VIII. المصادر



- [1] MD.Tarek Habib and M.Rokonuzzaman , " A Set of Geometric Features for Neural Network Based Textile Defect Classification " , International Scholarly Research Network ISRN Artificial Intelligence Volume 2012 , (2012) , Article ID 643473, 16 pages doi: 10.542/2012/643473.
- [2] Anand H.Kulkarni and Sheetal B.Patil , " Automated Garment identification and defect detection model based on Texture Features and PNN " , International Journal of Latest Trends in Engineering and Technology (IJLTET) , (2012) , ISSN: 2278-621X.
- [3] R K Rao Ananthavaram, O.Srinivasa Rao and MHM Krishna Prasad , " Automatic Defect Detection of Patterned Fabric by using RB Method and Independent Component Analysis " , International Journal of Computer Applications , (2012) , (0975 – 8887) .
- [4] Rishav Dewan, and Monika Aggarwal , " IDENTIFICATION OF DEFECTS IN TEXTILES BASED ON STATISTICAL ANALYSIS OF DCT COEFFICIENTS OF TEXTILE IMAGES " , Aarhat Multidisciplinary International Education Research Journal (AMIERJ) , (2012) , ISSN 2278-5655.
- [5] Zheng Guang and Wang Jianxia , "Fabric Defect Detection Method Based on Image Distance Difference" , China The Eighth International Conference on Electronic Measurement and Instruments ICEMI , (2007) , 1-4244-1135-1/07/\$25.00 ©2007 IEEE.
- [6] K.L.Mak and P. Peng, "Detecting Defects in Textile Fabrics with Optimal Gabor Filters ", Wold Academy of Science, Engineering and Technology ,(2008) , 13.



- [7] K.L. Mak\*, P. Peng and K.F.C. Yiu ، " Fabric defect detection using morphological filters " ، Image and Vision Computing ، (2009) ، 27 1585–1592.
- [8] TE-LI SU, HUA-WEI CHEN, GUI-BING HONG and CHIH-MING MA، "AUTOMATIC INSPECTION SYSTEM FOR DEFECTS CLASSIFICATION OF STRETCH KNITTED FABRICS " ، International Conference on Wavelet Analysis and Pattern Recognition ، qingdao ، 11-14 July (2010) ، 978-1-4244-6531-6/10/\$26.00 ©2010 IEEE.
- [9] S.Priya, T. Ashok kumar and Dr. Varghese Paul Dean ، "A Novel Approach to Fabric Defect Detection Using Digital Image Processing " ،International Conference on Signal Processing ، Communication, Computing and Networking Technologies (ICSCCN) ، (2011) ، 978-1-61284-653-8/11/\$26.00 ©2011 IEEE.
- [10] Ali Javed, Mirza Ahsan Ullah, and Aziz-ur-Rehman ، " Comparative Analysis of Different Fabric Defects Detection Techniques ، I.J. Image, Graphics and Signal Processing ، (2013) ، pp: 40-45.
- [11] صلاح حسن ناجي،" تصاميم الأقمشة النسيجية السادة ومعطيات التأثيرات اللونية فيها" ، مجلة بابل ، المجلد ٢٠ / العدد ١ ، (٢٠١٢) .
- [12] د. ياسر محمد عيد حسن،"تكنولوجيا النسيج والتراكيب النسجية" ، وزارة التعليم العالي جامعة أم القرى-كلية الفنون والتصميم الداخلي للبنات (قسم صميم الأزياء) ، المملكة العربية السعودية.
- [13] أبد علي السيد زلط ، أبد محمد عبد الله الجمل أبد نورا حسن إبراهيم ،" دراسة تأثير اختلاف التراكيب النسجية على بعض خواص الأداء الوظيفي لأقمشة التجيد " ، (٢٠١٠) .
- [14] Maroš Tunák, Aleš Linka and Petr Wolf ، " Automatic Detection and Classification of Fabric Defects " ، Quality & Productivity Research Conference ،(2009).



- [15] Ajay Kumar Senior Member IEEE Department of Electrical Engineering Indian Institute of Technology‘ and Hauz Khas ‘ " Computer Vision-based Fabric Defect Detection: A Survey " , (2004) , Ph: +91(11) 2659-1095; Email: ajaykr@ieee.org
- [16] Mahajan P.M., J.T.Mahajan and Patil P.M. , " A review of automatic fabric defect detection techniques " , Advances in Computational Research , (2009) , ISSN: 0975–3273, Volume 1, Issue 2, 2009, pp-18-29
- [17] Priyanka M. Shanbhag, Manish P. Deshmukh and Shekhar R. Suralkar , "OVERVIEW: METHODS OF AUTOMATIC FABRIC DEFECT DETECTION" , GLOBAL JORNAL OF ENGINEERING, DESIGN & TECHNOLOGY , (2012) , G.J. E.D.T., Vol. 1(2) 2012:42-46 ,ISSN 2319 – 7293
- [18] Gonzales, R.C., Woods, R.E., Eddins, S.L. , Digital Image Processing. 2nd edition, Prentice-Hall, (2002).
- [19] Subhash Chandra Yadav, Krishna raj and R.G.varshney , "Error in 2D DCT Using Cosine Function getting by 'C' and VHDL and IEEE754 Representation of DCT values" , International Journal of Electronics and Computer Science Engineering, (2012) , ISSN: 2277-1956.
- عامة استقلال بدران، محمد احمد جاسم، محمد فاروق محمود و محمد نوفل محمد، "استخدام [20] الشبكة العصبية الاصطناعية في التعرف على شخص من خلال صورة الوجه" ، المجلة العراقية للعلوم الإحصائية، (٢٠١٣) [١٦٧-١٥٠].
- [21] K.N.SIVABALAN and Latha Madhavan , " Detection of defects in digital texture images using segmentation" , International Journal of Engineering Science and Technology , (2010) , pp:5187-5191.



[22] Ajay Kumar , "Neural network based detection of local textile defects" , PATTERN RECOGNITION the journal of the pattern recognition society , (2003) ,pp:1645 – 1659.

[23] Kai-Ling Mak ,Pai Peng, Pokfulam Road, and Pokfulam Road , "FABRIC DEFECT DETECTION USING MULTI-LEVEL TUNED MATCHED GABOR FILTERS" , JOURNAL OF INDUSTRIAL AND MANAGEMENT OPTIMIZATION , (2012) , doi:10.3934/jimo.2012.8.325 Volume 8, Number 2, May 2012 pp. 325-341.

[24] Maya R. Gupta , Nathaniel P. Jacobson and Eric K. Garcia , "OCR binarization and image pre-processing for searching historical documents" , PATTERN RECOGNITION the journal of the pattern recognition society 40 , (2007) , pp. 389 – 397.